

Documentation preserved at the Institute of Geophysics, Polish Academy of Sciences - Department of Seismology (Warszawa), reproduced on 2005 by SGA Storia Geofisica Ambiente (Bologna) on behalf of the Istituto Nazionale di Geofisica e Vulcanologia (Rome), in the frame of the EUROSEISMOS project.  
These data are considered public domain and may be freely distributed or copied for non-profit purposes provided the project is properly quoted.

P O L S K A   A K A D E M I A   N A U K  
Z A K Ł A D   G E O F I Z Y K I



**BIULETYN 3**  
**ŚLĄSKIEJ STACJI GEOFIZYCZNEJ**  
**W RACIBORZU**  
**ROK 1950**

WARSZAWA .1956  
PAŃSTWOWE WYDAWNICTWO NAUKOWE

Documentation preserved at the Institute of Geophysics, Polish Academy of Sciences - Department of Seismology (Warszawa), reproduced on 2005 by SGA Storia Geofisica Ambiente (Bologna) on behalf of the Istituto Nazionale di Geofisica e Vulcanologia (Rome), in the frame of the EUROSEISMOS project.  
These data are considered public domain and may be freely distributed or copied for non-profit purposes provided the project is properly quoted.

Redaktor Naczelny

[ PROF. DR EDWARD STENZ ]

Komitet Redakcyjny

ROMUALD WIELĄDEK (zastępca redaktora), HANNA LEWANDOWSKA-SKOCZEK (sekretarz), IRENA BOBR-MÓDRAKOWA, ZOFIA GRYGLEWICZ, LEOPOLD JURKIEWICZ, ZDZISŁAW MAŁKOWSKI, ROMAN TEISSEYRE (członkowie Komitetu).

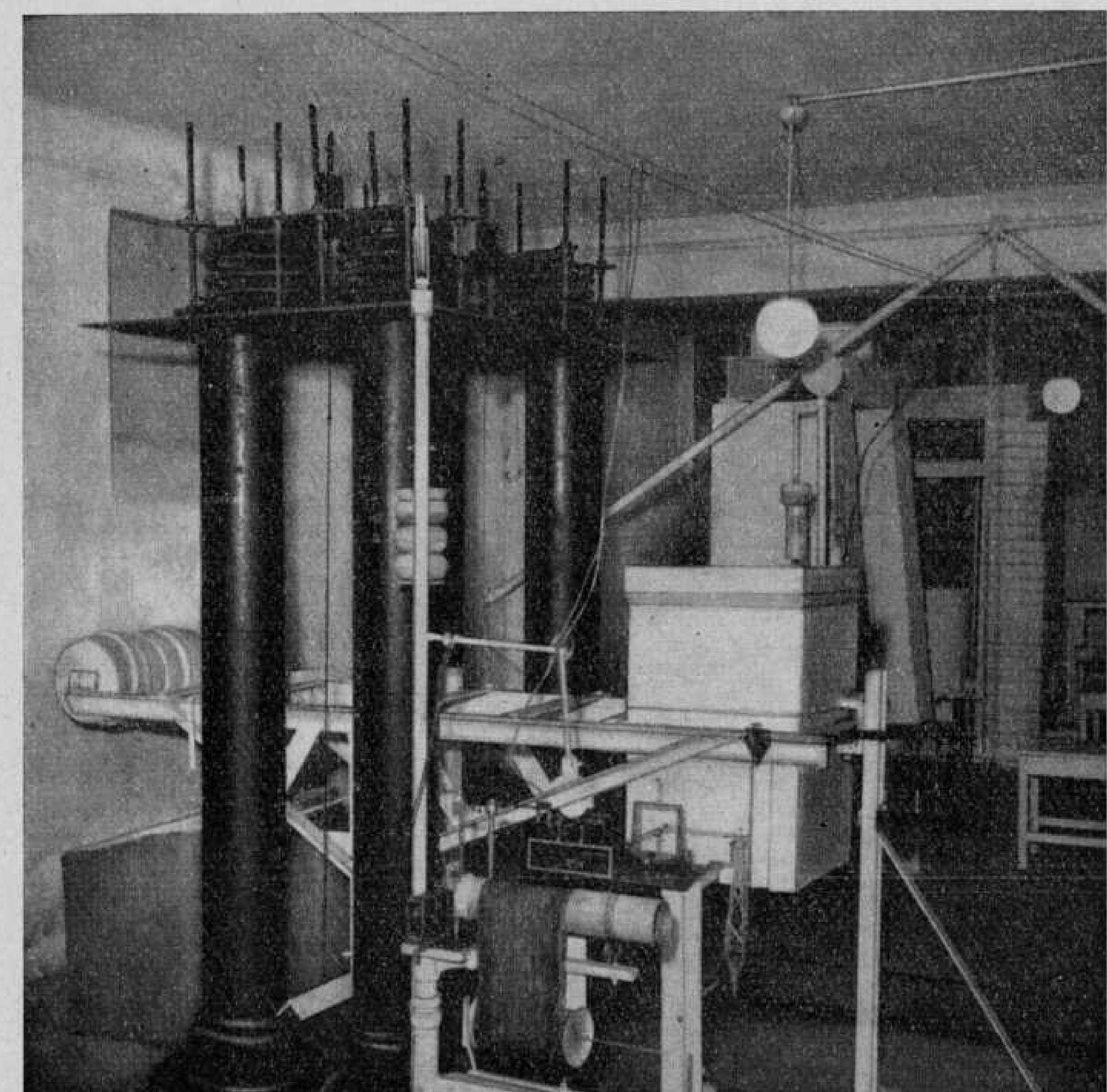
ADRES REDAKCJI:

Zakład Geofizyki Polskiej Akademii Nauk  
Warszawa, ul. Nowy Świat 72

PANSTWOWE WYDAWNICTWO NAUKOWE—WARSZAWA 1956

Nakład 740	Oddano do składania 9-II-56r.
Arkuszy wyd. 4,5 druk	Podpisano do druku 25.VI.56
Papier ilustrac. kl. V, 70g. 70×100/16	Druk ukończono 29.VI.56
Zamówienie 298a/56	B-7-51803 Cena 9 zł

DRUKARNIA IM. REWOLUCJI PAŹDZIERNIKOWEJ, WARSZAWA



Śląska Stacja Geofizyczna w Raciborzu — seismografy Mainki

Documentation preserved at the Institute of Geophysics, Polish Academy of Sciences - Department of Seismology (Warszawa), reproduced on 2005 by SGA Storia Geofisica Ambiente (Bologna) on behalf of the Istituto Nazionale di Geofisica e Vulcanologia (Rome), in the frame of the EUROSEISMOS project.  
These data are considered public domain and may be freely distributed or copied for non-profit purposes provided the project is properly quoted.

SPIS RZECZY

Str.

Przedmowa . . . . .	7
Tadeusz Olczak. Śląska Stacja Geofizyczna w Raciborzu w 1950 r. . . . .	9
Biuletyn sejsmiczny Śląskiej Stacji Geofizycznej w Raciborzu. Rok 1950 . . . . .	13
Tadeusz Olczak. Przegląd większych trzęsień ziemi zarejestrowanych przez Śląską Stację Geofizyczną w Raciborzu w 1950 r. . . . .	49

## PRZEDMOWA

Niniejszy, trzeci z kolei, Biuletyn Śląskiej Stacji Geofizycznej w Raciborzu opracowany został w Zakładzie Geofizyki Polskiej Akademii Nauk i ukazuje się w druku po raz pierwszy jako wydawnictwo tej instytucji. Zawiera on dane dotyczące trzęsień ziemi zarejestrowanych przez sejsmografy raciborskie w 1950 roku wraz ze stosownymi objaśnieniami.

Podobnie jak w dwóch poprzednich Biuletynach rocznych Stacji raciborskiej, obejmujących lata 1948 i 1949, a wydanych staraniem Państwowego Instytutu Geologicznego w Warszawie, także i w niniejszym Biuletynie wszystkie podane momenty wyrażone są w czasie uniwersalnym (T. U.). Dane dotyczące tych momentów są zatem o 1 godzinę mniejsze od czasu środkowo-europejskiego, obowiązującego w Polsce jako czas urzędowy.

Nie uległ również zmianie system symboli używanych w niniejszym Biuletynie dla oznaczania poszczególnych faz sejsmicznych. Symbole te, używane w skali międzynarodowej, były bliżej omówione w przedmowie do Biuletynu 2 Śląskiej Stacji Geofizycznej w Raciborzu\*.

Objaśnienia do danych liczbowych Biuletynu podane zostały w artykule pt.: „Przegląd większych trzęsień ziemi zarejestrowanych przez Śląską Stację Geofizyczną w Raciborzu w 1950 r.“ Do tych objaśnień dodano mapkę epicentrów, których aktywność dała się wyraźnie zarejestrować w Raciborzu w 1950 r. Mapkę tę opracowała mgr H. Skoczek.

W artykule wstępnym p.t: „Śląska Stacja Geofizyczna w Raciborzu w 1950 r.“ podano szereg szczegółów liczbowych dotyczących wyposażenia instrumentalnego, warunków jego funkcjonowania oraz uzyskanych w tym okresie rezultatów.

Tadeusz Olczak

---

\* Biuletyn 2 Śląskiej Stacji Geofizycznej w Raciborzu. Rok 1949. Wydawnictwa Geologiczne, Warszawa 1953.

TADEUSZ OLCZAK

## ŚLĄSKA STACJA GEOFIZYCZNA W RACIBORZU W 1950 ROKU

### Streszczenie

Autor przedstawia szereg informacji dotyczących funkcjonowania instrumentów sejsmologicznych Stacji Geofizycznej w Raciborzu w 1950 r. oraz omawia ważniejsze wyniki prac wykonanych na Stacji w tym okresie.

Stan wyposażenia instrumentalnego Śląskiej Stacji Geofizycznej w Raciborzu nie uległ w 1950 r. żadnym istotnym zmianom w porównaniu z 1949 r. W dalszym ciągu funkcjonowały trzy sejsmografy typu Mainki NS, EW, Z, jako sejsmografy główne oraz w dalszym ciągu rejestrowano ruchy wymuszone „płyty doświadczalnej”, czynnej jako sejsmograf krótkookresowy ( $Z_k$ ).

Stał instrumentów głównych wyznaczał w 1950 r. mgr E. Skrzypczak. Wyniki wyznaczeń nie wykazały większych zmian tych stałych w porównaniu z poprzednimi latami. Wartości tych stałych w 1950 r. były następujące:

Stał instrumentalne	NS	EW	Z
$T_0$ (sek)	5,6	5,7	2,06
$\gamma : 1$	1,4	1,4	1,1
$V_0$	130	140	105

Skok powiększeń sejsmografów NS i EW w porównaniu z tymi ich wartościami, jakie ogłoszone były w Biuletynie 1 Stacji raciborskiej, jest wynikiem pewnego istotnego niedopatrzenia, którego skutki niniejszym prostujemy. Jak zwrócił uwagę mgr R. Tessiere, przy obliczaniu tych powiększeń nie uwzględniano stosunku ramion pomocniczych dźwigni używanych do wychylania mas bezwładnych, z powodu czego uzyskiwano wartości powiększeń większe odpowiednio 2,775 i 1,96 razy. Poprawnie obliczone powiększenia  $V_0$  były w 1948 i 1949 r. dla sejsmografów NS i EW w przybliżeniu odpowiednio 120 i 125.

Służba czasu na Stacji przebiegała w sposób normalny na zasadach opracowanych w 1949 r. Zegar główny Stacji i codzienne odbiory nad-

wanych przez radio rytmicznych sygnałów czasu zapewniły wszystkim momentom notowanych faz dokładność rzędu co najmniej  $\pm 1$  sek.

Warunki termiczne piwnicy sejsmicznej kształtoły się w 1950 r. pomyślnie. Roczny przebieg zmian temperatury wewnątrz piwnicy ilustruje zestawienie następujące:

**Średnie miesięczne temperatury w piwnicy sejsmicznej**  
(w nawiasach odpowiednie temperatury zewnętrzne)

I	II	III	IV	V	VI
13,1°	13,6°	14,2°	13,8°	15,3°	17,4°
(-5,5)	(0,9)	(4,2)	(8,4)	(15,1)	(17,7)

VII	VIII	IX	X	XI	XII
18,8°	18,5°	16,6°	15,6°	15,3°	13,9°
(19,5)	(18,6)	(13,8)	(6,5)	(4,2)	(-1,0)

Średnia temperatura roczna w piwnicy sejsmicznej wynosiła w 1950 r. 15,5° (8,5°) wobec 14,4° (9,1°) w 1949 r. i 14,3° (9,0°) w 1948 r. Najchłodniej było w piwnicy sejsmicznej w styczniu, najczęściej w lipcu, a całkowita amplituda rocznego przebiegu temperatury wynosiła 5,7°. Wahania dzienne nie przekraczały 0,1°.

„Tymczasowy wykaz wstrząsów sejsmicznych zanotowanych przez Stację Geofizyczną w Raciborzu”, podobnie jak w latach poprzednich sporządzany był comiesięcznie przez obserwatorów Stacji, ob. M. Kalus i ob. R. Otlaka; korektę i opracowanie redakcyjne przeprowadzała w Warszawie ob. M. Kucharska, po czym „Tymczasowy wykaz wstrząsów” komunikowany był instytucjom zainteresowanym. Obejmował on w 1950 r. następujące ilości zarejestrowanych wstrząsów (łącznie ze ślądami):

I	II	III	IV	V	VI	VII	VIII	IX	X	XI	XII	Razem
16	11	22	13	37	34	38	55	32	20	16	17	311

Z powyższego materiału obserwacyjnego 273 wstrząsy (łącznie ze ślądami) ogłoszone są w niniejszym Biuletynie. Resztę stanowią ślady wątpliwej realności, zapisy niesejsmicznego pochodzenia, słabe ślady tego samego wstrząsu liczne jako dwa ślady niezależne lub wreszcie tak słabe ślady wstrząsów znanych, że ich ogłoszanie byłoby bezużyteczne. W ten sposób do niniejszego Biuletynu weszły następujące miesięczne ilości opracowanych zapisów sejsmicznych:

I	II	III	IV	V	VI	VII	VIII	IX	X	XI	XII	Razem
12	8	13	12	34	32	36	43	30	19	17	17	273

Dla powyższych 273 wstrząsów epicentra znane są dostępnym mi źródłom międzynarodowym w 174 przypadkach. Z reszty tj. 99 wstrząsów wydzielić trzeba grupę 3 wstrząsów śląskich (Nr 13, 49, 78) zidentyfikowanych i szczegółowo opracowanych przez prof. E. W. Janczewskiego\*, dalej grupę 6 wstrząsów prawdopodobnie śląskich (Nr 26, 39, 68, 83, 230, 243), wymagających dalszego opracowania w oparciu o materiał Stacji sejsmograficznych GIG i stacji zagranicznych, a wreszcie pokaźną grupę (około 8) zapisów różnej czytelności z ognisk prawdopodobnie nieodległych, szczegółowa interpretacja których jest trudną wobec braku danych innych stacji, w szczególności zagranicznych. Razem tedy biuletyn niniejszy na 273 ogłoszonych zapisów przynosi informacje o 183 znanych lub domniemanych epicentrach, co stanowi 67% ogólnej ilości wstrząsów ogłoszonych (wobec 73% w roku 1949).

Personel stał Stacji, podobnie jak w roku ubiegłym, stanowili: obserwatorzy ob. M. Kalus i ob. R. Otlak, mechanik ob. J. Baron i kierownik administracyjny ob. R. Szwedzki.

Osobno należy zanotować ważne postępy pozyskane dla Stacji w zakresie wyposażenia gospodarczego. Dzięki życzliwemu i pełnemu zrozumienia stanowisku Dyrekcji Państwowego Instytutu Geologicznego z ówczesnym Dyrektorem J. Czarneckim i Wicedyrektorem E. Rühle na czele, udało się podpisaniu wyjednania dla Stacji środki inwestycyjne w pierwszym rzędzie na budowę specjalnych pomieszczeń dla warsztatu i dla archiwum. Budynek osobny, murowany, o takim właśnie przeznaczeniu, wznieziony został w 1950 r. w sąsiedztwie budynku starego, drewnianego. Rozszerzony teren Stacji został ostatecznie przez odpowiednie władze wyłączony do użytkowania Stacji, a następnie przy pomocy środków finansowych, dostarczonych również przez Państwowy Instytut Geologiczny, otoczony ogrodzeniem z siatki drucianej rozpiętej na betonowych słupach. Do terenu Stacji doprowadzone zostały ponadto przewody miejskiej sieci wodociągowej, kanalizacyjnej i gazowej. Wszystkie te prace wykonane zostały starannie i terminowo przez miejscowe Spółdzielcze Przedsiębiorstwo Budowlane i Miejskie Zakłady Wodociągowo-Kanalizacyjne. Nadzór ogólny nad wymienionymi pracami pełnił z ramienia Państwowego Instytutu Geologicznego ob. Z. Rojowskiego, zaś nadzór techniczny — ob. inż. B. Koreywo.

\* E. W. Janczewski — Wyznaczenie położenia ognisk kilku górnosłaskich wstrząsów sejsmicznych z 1950 r. (Détermination des foyers de plusieurs séismes Haut-Silésiens en 1950). Acta Geoph. Pol., v. 3, N° 1, pp. 3—26, Warszawa 1955.

Documentation preserved at the Institute of Geophysics, Polish Academy of Sciences - Department of Seismology (Warszawa), reproduced on 2005 by SGA Storia Geofisica Ambiente (Bologna) on behalf of the Istituto Nazionale di Geofisica e Vulcanologia (Rome), in the frame of the EUROSEISMOS project.  
These data are considered public domain and may be freely distributed or copied for non-profit purposes provided the project is properly quoted.

**B I U L E T Y N   S E J S M I C Z N Y  
ŚLĄSKIEJ STACJI GEOFIZYCZNEJ  
W RACIBORZU**

**ROK 1950**

These data are considered public domain and may be freely distributed or copied for non-profit purposes provided the project is properly quoted.

— 15 —

STYCZEN

1950

STYCZEN

Nr	Data	Faza	Godzina T. U.	Okres T	Amplituda			Uwagi
					$A_N$	$A_E$	$A_Z$	
1	3.I	e(P) <sub>N</sub>	h      m      s	s				Filipiny, Luzon
		e(SKS) <sub>N</sub>	03    04    30					
		e(S) <sub>N</sub>			14    55			
		F	04    01		15    09			
2	4.I	NEZ	09    20-24					Mikrosejsmy Ślady
3	7.I	NEZ	20    20-24					Mikrosejsmy Ślady
4	8.I	$e_Z$	21    02    36	4.2				Tonga
		$i_E$						
		F	21    06		37			
5	12.I	$e(PK_1)$ NEZ	12    24    51					Fidji
		F	12    48					
6	13.I	Z	04    41-43					Ślady
7	16.I							Rumunia, Vrancea; BCIS: 45.25°N, 28.25°E, h = 150 km
8	19.I	$eP_Z$	04    26    44					Ślady
		$eP_{NE}$			45			
		$e_{NEZ}$			56			
		$e_N$	28    10					
		F	04    40					
9	22.I	$e(P)_Z$	17    34    12					Ślady
		NE	34-49					
10	24.I	NZ	04    14-35					Ślady
11	26.I	$e(PK_1)_Z$	17    06-19					Ślady
12	27.I	NZ	04    10    59					Ślady
		N	11-16					
			19    38-44					Ślady

— 16 —

LUTY			1950			LUTY		
Nr	Data	Faza	Godzina T. U.	Okres T	Amplituda			Uwagi
					$A_N$	$A_E$	$A_Z$	
13	2.II		h m s	s				Górny Śląsk; interpretacja faz wg E. W. Jan- czewskiego
		iPg <sub>Z</sub>	03 42 07.9					
		e(P*) <sub>N</sub>	08.9					
		e(P*) <sub>Z</sub>	09.0					
		e <sub>E</sub>	09.6					
		e <sub>E</sub>	11.3					
		iSg <sub>Z</sub>	15.35					
		iSg <sub>N</sub>	15.5					
		i(S*) <sub>Z</sub>	16.3					
		i <sub>NZ</sub>	19.3					
		e <sub>NZ</sub>	20.4					
		eSn <sub>Z</sub>	21.4					
		eSn <sub>N</sub>	21.6					
		M <sub>NE</sub>	43.0	1.7-2.0	17 $\mu$	28 $\mu$		
		M <sub>Z</sub>	43.2		1.9			
		F	03 53					
14	2.II	eP <sub>Z</sub>	23 44 42					Chiny, S Yünnan
		eP <sub>E</sub>	44					
		F	00 57					
15	3.II	eP <sub>Z</sub>	03 02 52					Replika poprzed- niego
		F	03 59.5					
16	8.II	eP <sub>Z</sub>	18 26 01					
		eP <sub>E</sub>	03					
		eP <sub>N</sub>	04					
		e <sub>Z</sub>	27 08					
		F	18 35.8					
17	12.II	e(PKP <sub>1</sub> ) <sub>Z</sub>	22 34 35.6					Mikrosejsmy
		e(PKP <sub>1</sub> ) <sub>NE</sub>	36					
		F	22 45					

— 17 —

LUTY			1950			LUTY			
Nr	Data	Faza	Godzina		Okres T	Amplituda			Uwagi
			T. U.			$A_N$	$A_E$	$A_Z$	
18	14. II	i <sub>EZ</sub>	23 03	21.7					
		F	23 03	27					Kuryle
19	23.II	i <sub>Z</sub>	05 00	12.3					
		F	05 03						Cieśn. La Pérouse
20	28.II	iP <sub>Z</sub>	10 31	57.0					
		eP <sub>NE</sub>		57.9					
		i <sub>Z</sub>	32	01.8					
		i <sub>NE</sub>		02.7					
		(PcP)		(05.3)					
		ipPcP <sub>NE</sub>	33	29.7					
		eS <sub>NE</sub>	40	54					
		F	11 21						
MARZEC			1950			MARZEC			
21	2. III	NEZ	06 39-46						Ślady
22	7. III	i <sub>Z</sub>	02 20	54					Filipiny
		NEZ		21-38					
23	7. III	NE	22 48-59						Ślady, mikrosejsmy
24	8. III	(e <sub>Z</sub> )	04 29	31					Ślady, mikrosejsmy
		e		31					Nadrenia
		F	04	37					Mikrosejsmy
25	8. III	NEZ	08 45-56						Ślady, mikrosejsmy
26	9. III	NEZ	21 07-12						Ślady wstrząsu lo- kalnego, mikrosejs- my
27	10. III	NEZ	20 35-40						

— 18 —

MARZEC			1950			MARZEC		
Nr	Data	Faza	Godzina T. U.	Okres T	Amplituda			Uwagi
					$A_N$	$A_E$	$A_Z$	
28	16. III	iPKP <sub>1Z</sub>	h 19	m 43	s 30.9			Fidji, mikrosejsmy
		iPKP <sub>1E</sub>			31.3			
		iPKP <sub>1N</sub>			32.2			
		F	19	53				
29	20. III	NEZ	17	31-37				Slady
30	27. III	e(P)	(13	15	46.9)			Aleuty
		F	13	38				W przerwie minutowej
31	27. III	eP <sub>Z</sub>	21	31	38.4			Sumatra, mikrosejsmy
		F	21	50				
32	28. III	e <sub>Z</sub>	14	51	54			Slady, mikrosejsmy
		F	14	52.2				
33	31. III	NEZ	18	40-47				Slady, mikrosejsmy
KWIETIEŃ			1950			KWIETIEŃ		
34	1. IV	NEZ	21	56-22	10			Slady
35	3. IV	NZ	05	14-16				Slady
36	4. IV	eP <sub>Z</sub>	18	53	03			G. Sajańskie, rej. Irkucka
		eP <sub>EN</sub>			08			
		ePP <sub>EN</sub>		55	20			
		eSSS <sub>NE</sub>	19	05	48			
		eL <sub>NE</sub>			08.5			
		M <sub>NE</sub>			11.8			
		F	19	40				

— 19 —

KWIETIEŃ			1950			KWIETIEŃ		
Nr	Data	Faza	Godzina T. U.	Okres T	Amplituda			Uwagi
					$A_N$	$A_E$	$A_Z$	
37	6. IV	NEZ	02	50-0	20			Slady
38	7. IV	NEZ	04	21-27				Slady, mikrosejsmy
39	8. IV	NEZ	20	18-24				Slady wstrząsu lokalnego, mikrosejsmy
40	12. IV	Z	07	45.5-48.5				Slady
41	14. IV	Z	07	39-58				Slady
42	15. IV	NEZ	10	57-11	00			Slady, mikrosejsmy
43	26. IV	NZ	23	27-29				Slady, mikrosejsmy
44	27. IV	NZ	00	32-36				Slady, mikresejsmy
45	28. IV	Z	21	51-22	05			Slady
MAJ			1950			MAJ		
46	3. V	Z	02	45.5-46.7				Slady
47	3. V	NZ	06	00-02				Slady, mikrosejsmy
48	3. V	NEZ	07	20-29				Slady, mikrosejsmy

— 20 —

MAJ			1950			MAJ		
Nr	Data	Faza	Godzina T. U.	Okres T	Amplituda			Uwagi
					$A_N$	$A_E$	$A_Z$	
49	4. V		h m s	s				Górny Śląsk. Interpretacja faz wg E. W. Janczewskiego
		ePg <sub>E</sub>	15 54 44					
		iPg <sub>Z</sub>	44.1					
		e <sub>N</sub>	46					
		e <sub>I</sub> <sub>Z</sub>	46.5					
		e <sub>NZ</sub>	49.3					
		iSg <sub>NZ</sub>	50.3					
		i <sub>E</sub>	53.6					
		e <sub>I</sub> <sub>Z</sub>	54					
		e <sub>N</sub>	55					
		e(Sn)	56.1					
		M <sub>NE</sub>	55.7	1				
		M <sub>Z</sub>	56	2				
		F	15 59					
50	9. V	e(P) <sub>N</sub>	06 18 50.4		+			Zatoka Aden
		e(S) <sub>N</sub>	25 27					
		F	06 37					
51	9. V	NEZ	09 24-40					Slady
52	9. V	eP <sub>EZ</sub>	11 23 16					Rej. Aschabadu
		ePP <sub>N</sub>	24 40					
		ePP <sub>E</sub>	54					
		ePcP <sub>N</sub>	25 48					
		eS <sub>N</sub>	28 56					
		eS <sub>E</sub>	59					
		eSS <sub>E</sub>	32 01					
		eSS <sub>N</sub>	08					
		eL <sub>NE</sub>	34.0					
		F	12 10					
53	10. V	NEZ	02 10-20					Slady
54	10. V	NEZ	18 05-09					Slady

— 21 —

MAJ			1950			MAJ		
Nr	Data	Faza	Godzina T. U.	Okres T	Amplituda			Uwagi
					$A_N$	$A_E$	$A_Z$	
55	10. V		h m s	s				Cieśn. Mozambik
		eP <sub>Z</sub>	23 50	29.4				
		eP <sub>N</sub>		33.2				
		e <sub>N</sub>		35.7				
		ePcP <sub>N</sub>	51	50.0				
		ePcP <sub>Z</sub>		51.4				
		ePcP <sub>E</sub>		54.0				
		ePP <sub>N</sub>	53	11.2				
		ePP <sub>E</sub>		11.5				
		ePP <sub>Z</sub>		12.2				
		e <sub>E</sub>	54	54.0				
		ePPP <sub>Z</sub>	55	02				
		ePPP <sub>N</sub>		05				
		eS <sub>N</sub>	59	34				
		eS <sub>E</sub>		40				
56	11. V	e <sub>N</sub>	24 01	44.5				
		e <sub>N</sub>	02	56				
		F	24	04.7				
57	12. V	Z	23	24-38				Slady
		Z	03	01-02				Slady
		Z	01	32-33				Slady
58	14. V	e(P) <sub>NZ</sub>	02 59	(23.9)				
		e <sub>Z</sub>		36.4				
		e <sub>NZ</sub>		43.9				
		e <sub>N</sub>		48.4				
		e <sub>Z</sub>		50.0				
		e <sub>N</sub>	03 00	07.4				
		e <sub>Z</sub>		11.9				
		F	03 05					
								W przerwie minutowej

— 22 —

MAJ			1950			MAJ		
Nr	Data	Faza	Godzina T. U.	Okres T	Amplituda		Uwagi	
					$A_N$	$A_E$		
60	14. V		h m s	s			Fazy niewyraźne, mikrosejsmy	
		e(P) <sub>Z</sub>	13 02 54					
		e <sub>Z</sub>	03 35					
61	14. V	F	13 07.5					
		e(P) <sub>N</sub>	20 14 46					
		e(P) <sub>Z</sub>	48					
		e <sub>EZ</sub>	15 06					
		e <sub>Z</sub>	24					
62	17. V	F	20 18.5				Japonia; BCIS: 39.4°N, 129.9°E, h=600 km	
		iP <sub>Z</sub>	11 57 23.4	1.2	+ - +			
		iP <sub>NE</sub>	24.8		+ +			
		ePcP <sub>Z</sub>	29.3	4.2	+ +			
		e <sub>Z</sub>	58 33.1					
		e <sub>Z</sub>	46.4					
		epP <sub>Z</sub>	59 22.5					
		epP <sub>E</sub>	23.1					
		epP <sub>N</sub>	(27)					
		e <sub>NE</sub>	40.3					
		e(pPcP) <sub>NEZ</sub>	12 00 04.6					
		e(PP) <sub>N</sub>	40.8					
		e(PP) <sub>Z</sub>	44.4					
		e(PP) <sub>E</sub>	44.8					
		e <sub>Z</sub>	01 19.6					
		e <sub>E</sub>	02 54.8					
		e <sub>Z</sub>	56.3					
		e <sub>E</sub>	04 (27)					
		eS <sub>N</sub>	06 05					
		eS <sub>EZ</sub>	07					
		F	12 21					
W przerwie minu-towej								

— 23 —

MAJ			1950			MAJ		
Nr	Data	Faza	Godzina T. U.	Okres T	Amplituda		Uwagi	
					$A_N$	$A_E$		
63	17. V		h m s	s			Nowe Hebrydy; BCIS: 20°S, 169°N	
		ePKP <sub>1Z</sub>	18 32	32.0				
		ePKP <sub>2Z</sub>		56.2				
		ePKP <sub>2N</sub>		56.2				
		e <sub>N</sub>	33	56.1				
		e <sub>Z</sub>		59.0				
		e <sub>Z</sub>	34	22.8				
		e <sub>N</sub>	35	40.6				
		e(PP) <sub>Z</sub>		53.6				
		e <sub>N</sub>	36	16				
		e <sub>N</sub>	37	00				
		F	18	52				
64	19. V						Replika poprzed-niego	
		e(PKP) <sub>Z</sub>	02 57	48				
		e <sub>N</sub>	58	41				
		e <sub>Z</sub>	03 00	56				
		e <sub>N</sub>	01	30				
		e <sub>N</sub>	02	07				
		F	03	14				
65	19. V	NEZ	22	17-20			Ślady	
66	20. V						Hindukusz; BCIS: 36.5°N, 70°E	
		eP <sub>E</sub>	19	01	42.6			
		eP <sub>Z</sub>			43.1			
		eP <sub>N</sub>			43.3			
		ePP <sub>EZ</sub>	02		03.6			
		ePP <sub>N</sub>			05.9			
		e <sub>Z</sub>	04		49			
		e(S) <sub>Z</sub>	05	(28)				
		F	19	23				
							W przerwie minu-towej	

- 24 -

MAJ			1950				MAJ		
Nr	Data	Faza	Godzina T. U.		Okres $T$	Amplituda			Uwagi
			h	m		s	$A_N$	$A_E$	
67	21. V	$e(P)_Z$	11	48	12				Fazy niewyraźne
		$e_Z$				33			
		$e_L$			49	03			
		F	11	51					
68	22. V	NZ	20	28-31					Ślady wstrząsu lokalnego
69	24. V	Z	01	33-39					Ślady
70	24. V	$e(P)_Z$	04	12.5					Nowe Hebrydy W przerwie minutowej
		F	40	20					
71	24. V	$eP_Z$	07	16	25.5				
		$e_Z$			42.6				
		$e_Z$			46.6				
		$e_Z$		17 (31)					
		F	07	19					
72	24. V	NEZ	12	30-40					Ślady, mikrosejmy
73	24. V	Z	16	23-25					Ślady, mikrosejmy
74	25. V	EZ	18	48-19	24				Ślady
75	26. V	$ePKP_{1Z}$	01	36	(36.6)				Nowe Hebrydy; BCIS: $20^{\circ}S$ , $169^{\circ}E$ $h = 100$ km
		$ePKP_2$			44.9				
		$epPKP_{2Z}$	37	21.1					
		$epPKP_{2E}$			22.1				
		$e(PP)_{EZ}$	40	05.6					
		$e(PKS)_E$			16.1				
		F	03	22					

- 25 -

MAJ			1950				MAJ			
Nr	Data	Faza	Godzina T. U.			Okres $T$	Amplituda			Uwagi
			h	m	s		$A_N$	$A_E$	$A_Z$	
76	26. V	Z	19	52-59		S				Ślady
77	28. V	N	01	56-02	13					Ślady
78	28. V									Górny Śląsk; interpretacja faz wg E.W.Janczewskiego
		iPg <sub>Z</sub>	18	17	27.1	0.9				
		e <sub>Z</sub>			29.1					
		e <sub>Z</sub>			30.5					
		i <sub>N</sub>			31.0					
		ei <sub>Z</sub>			32.1					
		ei <sub>Z</sub>			33.6					
		iSg <sub>Z</sub>			34.35					
		e <sub>N</sub>			34.4					
		i <sub>Z</sub>			35.3					
		e <sub>N</sub>			35.8					
		i <sub>N</sub>			38.1	0.8				
		i <sub>Z</sub>			45.6					
		i <sub>NZ</sub>			48.3		1.3			
		i <sub>Z</sub>			49.1					
		e <sub>Z</sub>			50.3					
		e <sub>Z</sub>			53.2					
		i <sub>NZ</sub>	18	01.3		1.2			1.6	
		F	18	22						
79	30. V									Tonga; BCIS: $20^{\circ}$ S, $178.5^{\circ}$ W, h=600 km
		iPKP <sub>1Z</sub>	15	22	41.1					
		iPKP <sub>2Z</sub>			(47)					W przerwie minutowej
		e <sub>NZ</sub>	23	36						
		F	15	36						

— 26 —

Nr	Data	Faza	Godzina T. U.	Okres T	Amplituda			Uwagi
					$A_N$	$A_E$	$A_Z$	
80	1. VI	Z	h m s	s				Ślady
81	2. VI	NEZ	19 46-57					Ślady
82	4. VI	ePKP <sub>Z</sub> ePKP <sub>NE</sub> F	09 08-11					BCIS: 22°S, 174.25°E
83	7. VI	NEZ	15 37 46 47	1.5				Ślady wstrząsu lokalnego
84	7. VI	iP <sub>Z</sub> eP <sub>E</sub> eP <sub>N</sub> F	15 47					Północne Peru: BCIS: 4°S, 76.5°W, h=100 km
85	8. VI	eP <sub>NZ</sub> eP <sub>E</sub> ePP <sub>N</sub> ePP <sub>EZ</sub> F	09 27-30					BCIS: 47.75°S, 14.75°W, h=150 km
86	9. VI	NEZ	17 05 55 56 57					Ślady
87	11. VI	NEZ	17 29					Ślady
88	11. VI	E	16 21 21 (25)					Ślady
89	14. VI	NZ	16 25 31 25.5					Ślady
			16 45					Ślady
			18 34.5-44					Ślady
			04 33.4-36.4					Ślady
			22 31-47					Ślady
			04 04-15					Ślady

— 27 —

Nr	Data	Faza	Godzina T. U.	Okres T	Amplituda			Uwagi
					$A_N$	$A_E$	$A_Z$	
90	14. VI	NEZ	h m s	s				Ślady
91	15. VI	NEZ	16 09-10					Ślady
92	16. VI	NEZ	02 19-23					Ślady
93	16. VI	NEZ	00 06-01 09					Ślady
94	17. VI	Z <sub>k</sub>	14 26-32					Ślady
95	17. VI	NEZ	05 22.5-26.0					Ślady
96	18. VI	E	22 49.7-23 08					Ślady
97	18. VI	E	00 07.1-12.7					Ślady
98	18. VI	NEZ	06 44-50					Ślady
99	18. VI	Z <sub>k</sub>	12 56-13 32					Ślady
100	19. VI	(eP) <sub>E</sub> (eP) <sub>Z</sub> (eP) <sub>N</sub> (ePP) <sub>N</sub> (ePPP) <sub>NE</sub> F	22 27.2-28.8					Morze Jawajskie; BCIS: 6.25°S, 112.5°E
		12 50 49						
		51 05						
		10						
		54 47						
		57 (12)						
		14 11						W przerwie minu- towej

— 28 —

CZERWIEC			1950			CZERWIEC		
Nr	Data	Faza	Godzina T. U.	Okres T	Amplituda			Uwagi
					$A_N$	$A_E$	$A_Z$	
101	20. VI		h m s	s				Alpy Transylwańskie, rejon Sinaia; BCIS: 45.25°N, 25.5°E. Zapisu E brak
		i(Pn) <sub>N</sub>	01 20 (29.0)					
		ePn <sub>Z</sub>	34.5					
		iPn <sub>Z</sub>	35.5					
		eP* <sub>Z</sub>	45.1					
		eP* <sub>N</sub>	46.2					
		ePg <sub>Z</sub>	21 11.0					
		ePg <sub>N</sub>	12.3					
		eL <sub>N</sub>	23 13					
		F	01 33					
102	20. VI	eP <sub>NZ</sub>	14 17 (14)					W przerwie minutowej
		F	14 21					
103	21. VI	NEZ	07 04-08 46					Ślady
104	23. VI	NZ	06 48.6-50.3					Ślady
105	24. VI							Nowe Hebrydy, replika 26.V; JSA: 20.8°S, 169.6°E
		e(PKP) <sub>E</sub>	22 44 58					
		e(PKP) <sub>Z</sub>	45 01					
		e(PKP) <sub>N</sub>	06					
		F	24 31					
106	25. VI	NEZ	11 19.3-46.3					Ślady
107	26. VI	NEZ	23 59.5-24 03.0					Ślady
108	27. VI	eP	15 53 (21)					Japonia W przerwie minutowej Ślady
		NEZ	15 54-16 53					

— 29 —

CZERWIEC			1950			CZERWIEC		
Nr	Data	Faza	Godzina T. U.	Okres T	Amplituda			Uwagi
					$A_N$	$A_E$	$A_Z$	
109	28. VI	NEZ	16 31.4-42.4					Ślady
110	28. VI	e(S) <sub>EZ</sub>	23 34 21					
		e(S) <sub>N</sub>	(22)					
		e <sub>N</sub>	39					
		e <sub>Z</sub>	35.7					
		e(PcP) <sub>Z</sub>	37.4					
		e(ScS) <sub>Z</sub>	43.3					
		e <sub>Z</sub>	43.7					
		F	24 14					
111	29. VI	Z	05 55-06 06					
LIPIEC			1950			LIPIEC		
112	1. VII	NEZ	06 14-20					Ślady
113	1. VII	E	23 32-38					
114	3. VII	NE	10 21-11 10					
115	3. VII	iPKP <sub>1</sub>	12 49 09.2					
		e(PKP <sub>2</sub> )	28.9					
		e <sub>Z</sub>	39.1					
		F	12 59					
116	6. VII	NEZ	00 45-48					
117	6. VII	NEZ	07 12-32					
118	6. VII	Z	19 21-29					

— 30 —

LPIEC			1950		LPIEC				
Nr	Data	Faza	Godzina		Okres T	Amplituda			Uwagi
			T.	U.		A <sub>N</sub>	A <sub>E</sub>	A <sub>Z</sub>	
119	7. VII	e <sub>Z</sub>	h	m	s	s			W-y Salomona Ślady
120	8. VII	Z	17	08-29					Ślady
121	8. VII	NE	01	04-07					Ślady
122	8. VII	NEZ	07	13-24					Ślady
123	9. VII	eP <sub>Z</sub>	23	37-40					BCIS: 25°N, 63.3°E
		NEZ	00	36	16				Ślady
			36-56						
124	9. VII	ePKP <sub>Z</sub>	01	59	00				USCGS: 33°S, 112° W
		NEZ	01	59-02	23				Ślady
125	9. VII	NEZ	02	47-58					Kolumbia; USCGS: 8°N, 73°W
126	9. VII	NEZ	03	41-59					Azory
127	9. VII								Brazylia: USCGS: 8.5°S, 71°W, H=04 <sup>h</sup> 39 <sup>m</sup> 57 <sup>s</sup> , h=600 km, M=7 (Pasadena)
		eP <sub>NZ</sub>	04	52	(24)				W przerwie minutowej
		eP <sub>E</sub>		30	3.8				
		epP <sub>Z</sub>	54	45					
		ePP <sub>E</sub>	56	29	3.8	6 <sup>μ</sup>			
		eSKS <sub>N</sub>	05	02	03	5.2			
		eSKS <sub>EZ</sub>		05	5.2				
		eS <sub>E</sub>		34					
		i <sub>E</sub>		53					
		F							
									W następnym

— 31 —

LPIEC			1950		LPIEC				
Nr	Data	Faza	Godzina		Okres T	Amplituda			Uwagi
			T.	U.		A <sub>N</sub>	A <sub>E</sub>	A <sub>Z</sub>	
128	9. VII		h	m	s				Replika poprzedniego W przerwie minutowej
		eP <sub>N</sub>	05	02	(24)				
		eSKS <sub>N</sub>		12	05				
		eSKS <sub>E</sub>			07				
		F	05	43					
129	9. VII								Pamir; BCIS: 36.6°N, 70.3°E, H=16 <sup>h</sup> 10 <sup>m</sup> 25 <sup>s</sup> h = 220 km
		eP <sub>Z</sub>	16	17	36.2				
		eP <sub>E</sub>			36.4	3.45			
		ePP <sub>E</sub>		19	18				
		e <sub>N</sub>			26.1				
		eSS <sub>NE</sub>			26.9				
		F	16	58					
130	10. VII	EZ	05	46-06	13				Ocean Indyjski Ślady
131	10. VII	NEZ	14	10-16					Fidji Ślady
132	12. VII	EZ	11	21-34					Aleuty Ślady
133	12. VII	NEZ	12	07-30					Tonga Ślady
134	12. VII	EZ	15	58-16	03				Kamczatka Ślady
135	13. VII	EZ	04	15-44					W-y Bonin Ślady
136	13. VII	NEZ	15	38.5-44.2					Ślady
137	14. VII	EZ	06	32.2-58.5					Ślady

— 32 —

LIPIEC			1950			LIPIEC				
Nr	Data	Faza	Godzina		Okres T	Amplituda			Uwagi	
			T.	U.		$A_N$	$A_E$	$A_Z$		
138	17.VII	ePKP <sub>1</sub> F	h 20	m 37	s 25.5	s			Nowe Hebrydy	
139	20.VII	E	09	50-10	24				Fidji Ślady	
140	21.VII	NEZ	20	51.5-21	24				Nowe Hebrydy Ślady	
141	22.VII	EZ	23	27.4-40					Nowe Hebrydy Ślady	
142	23.VII	EZ	07	52.2-09	21				Ślady, mikrosejsmy	
143	27.VII	NEZ	17	49.1-53					Fidji Ślady	
144	29.VII	EZ	16	59.7-17	53				Molluki Ślady	
145	30.VII	EZ	00	04.7-01	16				W-y Salomona Ślady	
146	30.VII	e <sub>E</sub> e <sub>N</sub> F	18	27	39					
					51					
147	31.VII	NE	18	35-43					Grecja Ślady	
SIERPIEŃ			1950			SIERPIEŃ				
148	2.VIII	eP <sub>Z</sub> eP <sub>N</sub> eP <sub>E</sub> e <sub>Z</sub> e <sub>E</sub> ePP <sub>NE</sub> ePcP <sub>N</sub> e(PcP) <sub>E</sub> eS <sub>N</sub>	13	57	30	1.8	4.3μ		Erytrea; BCIS: 14.5°N, 40°E, H = 13h49m58s Ślaba dylatacja potem kompresja	
					31	4.5				
					32	4.5	5.7μ			
					58	04				
					13					
					59	00	5.2	3.2μ		
					25					
					(38)					
									Niewyraźne	

— 33 —

SIERPIEŃ			1950			SIERPIEŃ				
Nr	Data	Faza	Godzina		Okres T	Amplituda			Uwagi	
			T.	U.		$A_N$	$A_E$	$A_Z$		
148	2.VIII	eS <sub>E</sub> F	14	03	40					
			14	18						
149	3.VIII	e(P) <sub>Z</sub> F	06	28	01.2				Meksyk	
			06	33						
150	3.VIII	EZ	10	34-38						
151	3.VIII	NEZ	15	56-59						
152	3.VIII	eP <sub>Z</sub> eP <sub>E</sub> eP <sub>N</sub> eS F	22	30	38.7					
					39					
					40					
153	5.VIII	eP <sub>Z</sub> eP <sub>E</sub> F	01	55	00					
					03					
154	5.VIII	e(PK <sub>P</sub> ) <sub>1</sub> F	09	36.8						
			09	56						
155	5.VIII	Z	14	53.1-54.6						
156	7.VIII	eP F	02	58	(20)					
			03	48						
157	7.VIII	NEZ	16	01.3-33.2						
158	10.VIII	Z	01	53.4-55.6						

— 34 —

SIERPIEŃ			1950		SIERPIEŃ			
Nr	Data	Faza	Godzina T. U.	Okres T	Amplituda			Uwagi
					$A_N$	$A_E$	$A_Z$	
159	10.VIII	EZ	h m s	s				Slady
160	11.VIII	Z	20 40.9-42.95					Tonga Slady
161	13.VIII	Z	16 55-57					Antylle Slady
162	14.VIII							Argentyna; USCGS: 27°S, 62.5° W, H=22 <sup>h</sup> 51 <sup>m</sup> 28 <sup>s</sup> , h=700 km
		eP <sub>Z</sub>	23 04 31.15					
		esP <sub>E</sub>	07 44.9					
		e(sP) <sub>N</sub>	53					
		ePP <sub>N</sub>	08 58					
		iPP <sub>E</sub>	59.2					
		e <sub>N</sub>	10 52					
		e <sub>E</sub>	12 02					
		e <sub>N</sub>	07					
		eSKS <sub>NE</sub>	14 14.0	4	9 $\mu$	9 $\mu$		
		e <sub>N</sub>	16.9					
		e <sub>N</sub>	17.3					
		e <sub>E</sub>	18.7					
		F	23 48					
163	15.VIII							Assam: BCIS: 28.6°N, 96.5°E, H=14 <sup>h</sup> 09 <sup>m</sup> 30 <sup>s</sup> . M=8.6 (Pasadena). Zapis trudny do interpretacji z po- wodu b. dużych amplitud i doda- tkowo skompliko- wany licznymi re- plikami; na Z brak przerw minuto- wych

— 35 —

SIERPIEŃ			1950		SIERPIEŃ			
Nr	Data	Faza	Godzina T. U.	Okres T	Amplituda			Uwagi
					$A_N$	$A_E$	$A_Z$	
163	15.VIII	eP <sub>E</sub>	h m s	s				
		eP <sub>N</sub>	14 19 50.7	4.3				-6.5 $\mu$
		ePcP <sub>E</sub>	54.3	3.6				+1.2 $\mu$
		ePcP <sub>N</sub>	20 33					
		M <sub>N</sub>	35					
		F	15 04	15	480 $\mu$			
								W następnych re- plikach trwających do 18 <sup>h</sup> 21 <sup>m</sup>
								Replika poprzed- niego
164	15.VIII	eP <sub>NE</sub>	18 49 03.4					
		F	19 32					
165	15.VIII	NE	21 10-18					Replika nr 163
166	15.VIII	NEZ	21 52.6-22 27					Replika nr 163 Slady
167	15.VIII	NE	23 55-24 04					Replika nr 163 Slady
168	16.VIII	NE	05 43.8-06 14					Replika nr 163 Slady
169	16.VIII	NE	06 52.3-07 27					Replika nr 163 Slady
170	16.VIII	EZ	15 40-56					Replika nr 163 Slady
171	16.VIII	Z	16 46.1-50.7					Replika nr 163 Slady
172	16.VIII	NEZ	18 11.6-21.9					Replika nr 163 Slady
173	16.VIII	EZ	19 35.8-50					Replika nr 163 Slady
174	16.VIII	Z	20 21.7-22.1					Replika nr 163 Slady

— 36 —

SIERPIEŃ			1950		SIERPIEŃ			
Nr	Data	Faza	Godzina T. U.	Okres T	Amplituda			Uwagi
					$A_N$	$A_E$	$A_Z$	
175	17.VIII		h m s	s				Tonga; USCGS: 21°S, 180°, $H = 16^h 15^m 22^s$ , $h = 600$ km
		eiPKP <sub>1Z</sub>	16 34 01.2	1.4				
		e <sub>E</sub>	04.7	1.0				
		i <sub>Z</sub>	05.2					
		i <sub>N</sub>	06.2	1.0				
		iPKP <sub>2Z</sub>	18					
		i <sub>N</sub>	15					
		e <sub>E</sub>	16					
		e <sub>NE</sub>	16 36.4					
		F	16 54					
176	18.VIII	eP <sub>Z</sub>	01 18 05					Replika nr 163
		eP <sub>E</sub>	06					
		eP <sub>N</sub>	08					
		F	02 02					
177	18.VIII	eP <sub>Z</sub>	17 09 06					Replika nr 163
		eP <sub>E</sub>	07					
		F	17 52					
178	20.VIII	eP <sub>Z</sub>	09 12 39.2					Tybet
		eP <sub>E</sub>	40					
		F	09 28					
179	22.VIII	eP <sub>Z</sub>	02 33 39.5					Replika nr 163
		F	02 44					Początek niepewny
180	22.VIII	eP <sub>EZ</sub>	06 53 14.6					
		eP <sub>N</sub>	15.0					
		F	07 10					
181	22.VIII	eP <sub>Z</sub>	07 51 30.3					Kamczatka
		eP <sub>NE</sub>	34.3					
		F	07 59					

— 37 —

SIERPIEŃ			1950		SIERPIEŃ			
Nr	Data	Faza	Godzina T. U.	Okres T	Amplituda			Uwagi
					$A_N$	$A_E$	$A_Z$	
182	22.VIII	eP <sub>Z</sub>	13 32	14.4				Replika nr 163
		F	13 43					
183		eP <sub>Z</sub>	03 18	57				Tybet W przerwie minutowej
		F	03 51					
184		e <sub>Z</sub>	18 57	17.6				
		e <sub>N</sub>		20.4				
		F	19 14					
185		Z	01 38.15-46.9					Ślady
186		NZ	02 14.30-19.75					Ślady
187		NEZ	06 43-07 48					Ślady
188	27.VIII	eP <sub>Z</sub>	22 07	35.3				Turcja
		eP <sub>N</sub>		37.3				
		eP <sub>E</sub>		37.6				
		F	22 21					
189		eP <sub>Z</sub>	07 19	13.6				Filipiny
		eP <sub>E</sub>		13.8				
		F	07 50					
190	31.VIII	eP <sub>NZ</sub>	17 23	38				Jugosławia; BCIS: 44.9°N, 17.4°E, $H = 17^h 22^m 03^s$
		F	17 40					

WRZESIĘŃ			1950			WRZESIĘŃ		
Nr.	Data	Faza	Godzina T. U.	Okres T	Amplituda			Uwagi
					$A_N$	$A_E$	$A_Z$	
191	2.IX	iP <sub>Z</sub> eF <sub>N</sub> eP <sub>E</sub> F	h 02 59 12.6 m 13 s 15	1.1		+1.8		Aleuty
192	2.IX	NEZ	04 24.4-42.4					W mikrosejsmach Ślady, zapisany w Pradze
193	2.IX	eP <sub>N</sub> eP <sub>E</sub> eP <sub>Z</sub> ePP <sub>NE</sub> e(PPP) <sub>E</sub> F	16 24 (39) (44) 53 27 05 28 39 17 06					Replika nr 163
194	4.IX	ePg <sub>Z</sub> ePg <sub>E</sub> F	04 36 47 48 04 41.5					
195	4.IX	NEZ	12 20.6-42.8					Ślady
196	5.IX	e <sub>E</sub> e <sub>N</sub> e(PcP) <sub>Z</sub> F	04 08 40 48 14 48 04 34					Włochy; ING: 42°30,5'N, 13°21'E, H=04 <sup>h</sup> 04 <sup>m</sup> 36 <sup>s</sup>
197	10.IX	NE	04 33.6-51.6					Ślady
198	10.IX	ePKP <sub>1Z</sub> ePKP <sub>2Z</sub>	15 32 55 35 15					Nowe Hebrydy

WRZESIĘŃ			1950			WRZESIĘŃ			
Nr.	Data	Faza	Godzina T. U.		Okres T	Amplituda			Uwagi
			h	m		s	$A_N$	$A_E$	
198	10.IX	ePKP <sub>2NE</sub> ePP <sub>E</sub> ePP <sub>NZ</sub> F			15	35 18 38.3 38.8 16 03			
199	11.IX	NEZ			00	58-01 02			Ślady
200	11.IX	NE			16	07-16 14			Ślady
201	13.IX	NEZ			20	40.8-42.4			Ślady
202	14.IX	eP <sub>Z</sub> ePP <sub>Z</sub> F			09	19 37 23.2 09 33			Rejon W-y Halmahera
203	15.IX	e <sub>Z</sub> e(PKP <sub>1</sub> ) <sub>Z</sub> F			14	34 11 21 14 35.5			Tonga
204	15.IX	e(PKP <sub>1</sub> ) <sub>Z</sub> e(PKP <sub>1</sub> ) <sub>N</sub> e(PKP <sub>1</sub> ) <sub>E</sub> F			19	24 19 20 21 19 27			Tonga
205	16.IX	eP <sub>Z</sub> eP <sub>E</sub> F			12	51 03.5 05 12 55			Kuryle
206	16.IX	eP <sub>Z</sub> F			22	10 00 22 16			Aleuty
207	18.IX	Z			19	58.8-20 01.6			Ślady
208	19.IX	NEZ			20	48.2-21 05.2			Ślady
209	21.IX	EZ			16	51-17 02			Ślady

— 40 —

WRZESIEN			1950			WRZESIEN		
Nr	Data	Faza	Godzina T. U.	Okres T	Amplituda			Uwagi
					$A_N$	$A_E$	$A_Z$	
210	21.IX		h m s	s				Ocean Indyjski; BCIS: 9.2°S, 66°E, H=22 <sup>h</sup> 51 <sup>m</sup> 02 <sup>s</sup>
		eP <sub>Z</sub> F	23 02 30					
			23 10					
211	22.IX	eP <sub>Z</sub> eP <sub>E</sub> e <sub>Z</sub> F	01 48 08.0 09 18 01 53.5					Kuryle
212	22.IX	E	08 13.8-20.6					Ślady, mikrosej- smysy
213	23.IX	ePKP <sub>EZ</sub> e <sub>Z</sub> e <sub>Z</sub> e <sub>E</sub> e <sub>Z</sub> F	00 12 23.3 26.2 13 50 14 13.1 18.4 00 31					W-y Fidji; BCIS: 17.5°S, 177.5°W, H=23 <sup>h</sup> 53 <sup>m</sup> 30 <sup>s</sup>
214	23.IX	eP <sub>N</sub> eP <sub>Z</sub> eP <sub>E</sub> ePP <sub>Z</sub> F	06 27 31 33 37 43 06 43					Rejon Krety; BCIS: 34.7°N, 25.7°E, H=06 <sup>h</sup> 23 <sup>m</sup> 40 <sup>s</sup>
215	24.IX	E	23 04-30					Ślady; N i Z nie funkcjonowały
216	26.IX	E	16 07-15					Ślady wątpliwe
217	27.IX	ePKP <sub>1E</sub> ePKP <sub>1N</sub> F	08 43 34.9 36.9 08 50					W-y Fidji Mikrosejsmysy

— 41 —

WRZESIEN			1950			WRZESIEN		
Nr	Data	Faza	Godzina T. U.	Okres T	Amplituda			Uwagi
					$A_N$	$A_E$	$A_Z$	
218	28.IX		h m s	s				Rejon Formozy
		eP <sub>Z</sub> eP <sub>E</sub> F	03 41	52.1				
			03 53	52.7				
219	29.IX	eP <sub>Zk</sub> eP <sub>E</sub> eP <sub>Z</sub> F	16 38	47.4				
			16 42	49.7				
			07 39	51.5				
220	30.IX	eP <sub>Z</sub> F	08 01	05.1				Replika nr 163
PAŹDZIERNIK			1950			PAŹDZIERNIK		
221	5. X							Costarica; USCGS: 10.5°N, 85°W, H = 16 <sup>h</sup> 09 <sup>m</sup> 34 <sup>s</sup> , h = 180 km M = 7,5
		eP <sub>Z</sub> i(pP) <sub>Z</sub> e(pP) <sub>N</sub> e(pP) <sub>E</sub> e <sub>NE</sub> e <sub>E</sub> e <sub>E</sub> e(PS) <sub>E</sub> e(PS) <sub>N</sub> eL <sub>E</sub> eL <sub>NZ</sub> M <sub>EZ</sub> M <sub>NEZ</sub> F	16 22	24.1	1.5			1 $\mu$
			39	52.6				
			49	54.3				
			58	56.3				
			17 06	23.8				
			17	24.9				
			18 02	26.3				
				34.7				
				35.1				
				39	30			
				49				
				58	20	360 $\mu$		
				18 02	17	260 $\mu$	70 $\mu$	
222	8. X	e <sub>Z</sub> ePKP <sub>1Z</sub> ePKP <sub>1E</sub> ePKP <sub>1N</sub> ePP <sub>EZ</sub> ePP <sub>N</sub> F	03 37	23				Molluki B. słabe
			41	03				
			05	07				
			39	08				
				50	6			
				55				

— 42 —

Nr	Data	Faza	Godzina T. U.	Okres T	Amplituda			Uwagi
					$A_N$	$A_E$	$A_Z$	
223	8. X	$eP_Z$	h m s	s				Tybet Zakłócenia przez zapis poprzedni
			05 00 23					
224	8. X	$eP_Z$	16 49 07.5					
			F 16 53					
225	10. X	Z	19 02.1-04.5					Ślady
226	12. X	NEZ	01 43.0-44.3					Ślady
227	13. X	EZ	00 48.0-49.5					Ślady
228	16. X	EZ	19 31.2-32.5					Ślady, wg Pragi prawdopodobnie Karpaty
229	18. X	$ePg_Z$						Alpy Austryjackie; BCIS: 47.2°N, 15.2°E, $H = 18^{\text{h}}19^{\text{m}}57^{\text{s}}$
			18 21 17.8					
			$e_z$ 22 21					
230	18. X	F	18 25.1					Replika poprzed- niego Ślady
231	18. X	$e_z$	21 36.3-39.8					
232	19. X	$eP_E$	22 02 48					
			$eP_{NZ}$ 22 06 55					
233	21. X	Z	10 11.1-17.5					W-y Kermadec Ślady
		$ePKP_Z$	04 31 28					Tonga
			40					
		$ePKP_{NE}$	04 38					
			40					

— 43 —

Nr	Data	Faza	Godzina T. U.	Okres T	Amplituda			Uwagi
					$A_N$	$A_E$	$A_Z$	
234	23. X							Gwatemala
235	24. X	NEZ	11 48.9-56.9					Alpy Wschodnie Ślady, zmiana papieru
236	24. X	Z	16 20-22					Ślady
237	24. X	Z	22 30-34					Ślady
238	25. X	NEZ	07 15.5-32.6					Ślady
239	31. X	NEZ	01 31-15					Ślady
LISTOPAD 1950 LISTOPAD								
240	2.XI	$eP_{EZ}$	15 43 17					
		$ePP_{NE}$	47 53					
		$e_z$	48 33					
		F	17 29.5					
241	5.XI	$eP_{NE}$	17 49 39					Japonia
		$eL_E$	18 20.4					
		$M_E$	28.7	14				
		F	18 50					

- 44 -

**LISTOPAD** 1950 **LISTOPAD**

Nr	Data	Faza	Godzina T. U.	Okres $T$	Amplituda			Uwagi
					$A_N$	$A_E$	$A_Z$	
242	6.XI		h m s	s				Rejon Wysp Salomona
		$e_Z$	22 40 12					
		$PKP_Z$		41 09				
		$PP_Z$		43 07				
243	7.XI		22 56					
		$eP_Z$	22 28 15					
		$eP_N$		24				
		F	22 32					
244	8.XI							Rejon Wysp Salomona
		$ePKP_Z$	02 37 26					
		$ePKP_N$		28				
		$ePP_Z$		39 31				
		$ePP_N$		37				
		$ePKS_{NZ}$		40.5				
		$e_{NZ}$		43.5				
		$eL_N$	03 31					
		F	04 00					
245	9.XI	NZ	04 12.5-22.5					Slady
246	9.XI	Z	07 38.1-40.2					Slady
247	9.XI	NZ	07 43.15-50.8					Slady
248	10.XI	$eP_Z$	05 21 02.7	1.2			2.1 $\mu$	Samoa
		$eP_E$		05.0				
		$eP_N$		06.8	0.9	1.5 $\mu$		
		F	05 27.7					
249	12.XI	$eP_{Zk}$	12 40 00.7					W przerwie minutowej
		$eP_Z$		(02.3)				
		F	12 42.6					

- 45 -

LISTOPAD 1950 LISTOPAD

— 46 —

GRUDZIEŃ			1950			GRUDZIEŃ		
Nr	Data	Faza	Godzina T. U.	Okres T	Amplituda			Uwagi
					$A_N$	$A_E$	$A_Z$	
258	2. XII		h m s	s				Brazylia; USCGS: 8°S, 71.5°W, H=15 <sup>h</sup> 19 <sup>m</sup> 20 <sup>s</sup> , h=650 km ca, M=6.75
		eP <sub>Z</sub>	15 31 43.1					
		eP <sub>E</sub>	44.6					
		pP <sub>E</sub>	34 05					
		F	16 01					
259	2. XII							Nowe Hebrydy; USCGS: 17.9°S, 167.0°E, H=19 <sup>h</sup> 51 <sup>m</sup> 45 <sup>s</sup> , h=60 km ca, M=7,5
		ePKP <sub>1Z</sub>	20 11 09.8					
		ePKP <sub>2N</sub>	55					
		ePKP <sub>2E</sub>	56					
		ePP <sub>E</sub>	13.8					
		ePKS <sub>E</sub>	14 52					
		ePKS <sub>N</sub>	54					
		ePPP <sub>E</sub>	16 59					
		eSKS <sub>NE</sub>	17.8					
		ePcPPK <sub>E</sub>	19.0					
		ePKKP <sub>E</sub>	20 20.6					
		eSKKS <sub>E</sub>	20.8					
		F	22 10					
260	3. XII	EZ	06 37.1-49.6					Slady
261	3. XII	Z	08 10.6-16.8					Replika nr 259 Slady
262	3. XII	NEZ	18 34.0-48					Hindukusz Slady

— 47 —

GRUDZIEŃ			1950			GRUDZIEŃ		
Nr	Data	Faza	Godzina T. U.	Okres T	Amplituda			Uwagi
					$A_N$	$A_E$	$A_Z$	
263	4. XII		h m s	s				Fazy źle czytelne, mikrosejsmy
		ePKP <sub>Z</sub>	16 46 51					
		ePP <sub>E</sub>	48 02					
		F	17 19					
264	8. XII	NEZ	13 09.6-11.2					Samoa Slady
265	9. XII							Pogranicze Argentyny i Chile; BCIS: 25.0°S, 68.5°W, H=21 <sup>h</sup> 38 <sup>m</sup> 54 <sup>s</sup> , h=200 km, M=7.75-8
		eP <sub>Z</sub>	21 52 51					
		epP <sub>Z</sub>	53.6					
		esP <sub>Z</sub>	54.2					
		ePP <sub>NZ</sub>	57.1					
		eSKS <sub>NE</sub>	22 03.2		5	18 <sub>μ</sub>	18 <sub>μ</sub>	
		eS <sub>NE</sub>	04.4		5	30 <sub>μ</sub>	30 <sub>μ</sub>	
		F	23 50					
266	10. XII	ePKP <sub>1Z</sub>	13 42 30					W-y Kermadec
		ePKP <sub>1N</sub>	34					
		ePKP <sub>2Z</sub>	57					
		ePKP <sub>2N</sub>	59					
		F	14 21					
267	11. XII	NEZ	02 04.2-06.5					Slady
268	14. XII							Tonga, mikrosejsmy
		ePKP <sub>1Z</sub>	02 12 13.5					
		ePKP <sub>2Z</sub>	15.2					
		ePKP <sub>2E</sub>	15.3					

GRUDZIEŃ			1950			GRUDZIEŃ		
Nr	Data	Faza	Godzina T. U.	Okres T	Amplituda			Uwagi
					$A_N$	$A_E$	$A_Z$	
268	14. XII	ePKP <sub>2N</sub> eLQ <sub>E</sub> F	h      m      s	s				TADEUSZ OLCZAK
					02      12      15.7			
						51		
269	14. XII	eP eLQ F	14      29.1 15      07 15      57					Meksyk, fazy źle czytelne
270	15. XII	Z	01 51-54					Slady
271	16. XII	NEZ	22 26.9-29.4					Slady
272	22. XII	NEZ	15 42.7-45.9					Slady
273	30. XII	EZ	21 34-37					Fidji Slady

**PRZEGLĄD WIĘKSZYCH TRZĘSIĘĆ ZIEMI  
ZAREJESTROWANYCH PRZEZ ŚLĄSKĄ STACJĘ GEOFIZYCZNĄ  
W RACIBORZU W 1950 R.**

(W klamrach podane nry wg Biuletynu Sejsmicznego Stacji w Raciborzu 1950 r.)

W styczniu 1950 r. sejsmografy Śląskiej Stacji Geofizycznej w Raciborzu zanotowały ogółem 12 wstrząsów sejsmicznych. W dniu 16 o 04<sup>h</sup> 26<sup>m</sup> 44<sup>s</sup> zanotowana została wstępna faza trzęsienia ziemi z epicentrum w rejonie Vranțea (Rumunia) [7]. Głębokość ogniska była rzędu 150 km (BCIS), a w Bukareszcie trzęsienie było odczute w natężeniu stopnia IV. W dniu 3 o 03<sup>h</sup> 04<sup>m</sup> 30<sup>s</sup> zanotowano na sejsmografie NS wstępную fazę silnego trzęsienia ziemi wielkości 6,75 (Praga), które nawiedziło wyspę Luzon w archipelagu Filipin [1]. Trzęsienie to było repliką trzęsienia z 29. XII. 1949 r. W dniach 19 o 17<sup>h</sup> 34<sup>m</sup>—49<sup>m</sup> [8] i 22 o 04<sup>h</sup> 14<sup>m</sup>—35<sup>m</sup> [9] zanotowane zostały ślady wstrząsów, które przybyły z Persji. Pierwszy z nich odpowiadał trzęsieniu ziemi, które nawiedziło prowincję perską Farsistan, gdzie w rejonie 27,75°N i 53°E zostało zniszczonych kilkanaście osiedli i zginęły dziesiątki mieszkańców. Wstrząs drugi odpowiadał trzęsieniu ziemi, które było repliką pierwszego z obu omawianych i znacznie silniejszego wstrząsu. Pozostałe zarejestrowane wstrząsy pochodzą z obszaru Pacyfiku (Fidji, Tonga, Nowe Hebrydy, Samoa i in.). Najpokaźniejszym z nich jest wstrząs wywołany trzęsieniem ziemi w rejonie archipelagu Fidji dn. 12 [5]. Wielkość tego trzęsienia USCGS ocenia na 7 głębokość ogniska — na ok. 500 km.

Największym trzęsieniem ziemi w miesiącu lutym było podmorskie trzęsienie, którym objęte zostało dno Cieśniny La Pérouse, między południowym Sachalinem, a północnymi brzegami wyspy Hokkaido [20]. Głębokość ogniska tego trzęsienia wynosiła około 350 km. Czas w ognisku 10<sup>h</sup> 20<sup>m</sup> 58<sup>s</sup> (BCIS). W Raciborzu otrzymano bardzo szczegółowe dobrze czytelne sejsmogramy tego zjawiska. Wstępna fala P zapisaną została o 10<sup>h</sup> 31<sup>m</sup> 57<sup>s</sup>—58<sup>s</sup>, nadto zapisano szereg innych faz, w szczególności wy-

raźną sekwencję  $PcP-pPcP$  odpowiadającą głębokim ogniskom w tej odległości (odbicie od jądra ziemi oraz odbicie od powierzchni i od jądra). W trzęsieniu tym wystąpiły fale poprzeczne S olbrzymiej wielkości, a Biuletyn stacji w Pradze pisał: „Ondes du groupe S anormalement grandes“. Fale te dobrze widoczne są na zapisie raciborskim. W dn. 12 zanotowano trzęsienie ziemi w rejonie archipelagu Fidji [17], w dniach 2 i 3 dwa kolejne trzęsienia ziemi w chińskiej prowincji Yünnan [14, 15], a w dn. 23 trzęsienie ziemi, które nadeszło z rejonu Wysp Kurylskich (BCIS:  $45^{\circ}N, 151^{\circ}E$ , głębokość ogniska ok. 100 km). W dniu 2 zanotowano szczegółowo górnośląski wstrząs tektoniczny [13], dane o którym zamieszczamy wg publikacji E. W. Janczewskiego\*. Ogółem zanotowano w lutym 8 trzęsień ziemi.

W miesiącu marcu Stacja raciborska zanotowała ogółem 13 wstrząsów sejsmicznych, na ogólnie słabo czytelnych lub „śladów“. Do stosunkowo bardziej interesujących należy zapis z dn. 16 [28] dotyczący trzęsienia ziemi w rejonie archipelagu Fidji, z dobrze zarejestrowanymi impulsami faz PKP o  $19^h 43^m 31^s - 32^s$ . Według BCIS współrzędne epicentrum omawianego trzęsienia były  $17^{\circ}S, 178,5^{\circ}W$ ; głębokość ogniska ok. 600 km. Dwa europejskie trzęsienia ziemi w marcu, pierwsze w dn. 7 [23] z rejonu Rijeki, a w Trieście odczute w stopniu III–IV oraz drugie w dn. 8 [24] z rejonu Euskirchen (Eifel), odczute szczególnie w dolinie rzeki Ahr, a także w dolinie Renu od Kolonii do Koblencji — zostały zanotowane w Raciborzu mało czytelnie z powodu dość silnych mikrosejsem.

Wśród 12 wstrząsów sejsmicznych zanotowanych w Raciborzu w miesiącu kwietnia pełneczytelny zapis otrzymano tylko z wielkiego trzęsienia ziemi w Górnach Sajańskich na E od jeziora Kosso-goł w dn. 4 [36]. Wielkość tego trzęsienia wynosiła według Pragi 7,25, współrzędne epicentrum według BCIS  $52^{\circ}N, 101^{\circ}E$ . Zapisy raciborskie wyróżniają się silnymi ruchami składowych NS i EW w porównaniu ze składową pionową oraz słabymi, a nawet częściowo brakującymi fazami poprzecznymi. Bardzo wyraźnie wypadły natomiast fazy P i PP oraz fale długie. Silne trzęsienie jakie w dn. 1 [34] nawiedziło rejon Livorno we Włoszech oraz jego replika z dn. 7 [38] zapisane zostały w Raciborzu tylko jako ślady.

W miesiącu maja Stacja raciborska zanotowała znaczną liczbę wstrząsów sejsmicznych, mianowicie 34, w tym otrzymując cały szereg bardzo szczegółowych i dobrze czytelnych sejsmogramów. Z obszaru Pa-

\* E. W. Janczewski, Wyznaczenie położenia ognisk kilku górnośląskich wstrząsów sejsmicznych w 1950 r. (Détermination des foyers de plusieurs séismes Haut-Silésiens en 1950). *Acta Geoph. Pol.*, v. 3, N° 1, p. 3, Warszawa 1955.

cyfiku 6-krotnie zarejestrowaną została aktywność głębokich ognisk między Nowymi Hebrydami a Nową Kaledonią. Początek tym wstrząsom dało potężne trzęsienie ziemi (wielkość ok. 7,25) z ogniskiem leżącym  $20^{\circ}S, 169^{\circ}E$  (BCIS) w dniu 17 [63]. Niezły zapis raciborski tego trzęsienia otwierają fazy jądrowe  $PKP_1$  i  $PKP_2$  o  $18^h 32^m 32^s$  i  $18^h 32^m 56^s$ . Replikę tego trzęsienia ziemi, znacznie słabszą, zanotowano w dn. 19 [64] o  $02^h 57^m 48^s$  oraz jeszcze jedną replikę 24 [71] między  $04^h 12^m 03^s$  a  $04^h 20^m$ . Ponownie to samo lub bardzo bliskie ognisko dało znać o sobie 26 [75] o  $01^h 36^m 36,6^s$  dostarczając w Raciborzu względnie dobrze czytelny sejsmogram. Następnie w dniach 26 [76] i 28 [77] zapisane zostały dwie kolejne, słabsze jednak znacznie, repliki powyższego wstrząsu. W dn. 30 [79] o  $15^h 22^m 41^s$  zapisany został początek bardzo silnego trzęsienia ziemi z ogniskiem w rejonie archipelagu Tonga ( $20^{\circ}S, 178,50^{\circ}W$ , głębokość ogniska ok. 600 km). W dniu 17 zapisane zostały o  $11^h 57^m 3,4^s$  wstępne fale bardzo silnego podmorskiego trzęsienia ziemi, które miało miejsce na Morzu Japońskim w pobliżu brzegów północnej Korei ( $39,4^{\circ}N, 129,9^{\circ}E$ ). Stacja raciborska uzyskała bardzo szczegółowy i dobrze czytelny zapis tego trzęsienia [62]. W dniu 9 dość silne trzęsienie ziemi nawiedziło rejon Aschabadu [52], a w dniu następnym podobnej intensywności trzęsienie ziemi miało miejsce w pobliżu północnych brzegów Madagaskaru [55]. Mniej czytelnie zapisane zostały natomiast trzęsienia ziemi w rejonie Zatoki Adeńskiej [50] w dn. 9, tegoż dnia w Turcji Wschodniej [51] oraz w dn. 20 w rejonie Hindukuszu [66]. Bliskie i słabsze ogniska wykazywały dość dużą aktywność, zapisano je bowiem w Raciborzu ogółem 7 razy [49, 59, 60, 61, 67, 71, 78]. Do najszczegółowej zapisanych w Raciborzu należą górnośląskie wstrząsy z dn. 28 [78] i z dn. 4 [49] zapisane również przez Stację sejsmologiczną w Zabruszu, a ze stacji zagranicznych przez Pragę, Skalnaté Pleso, Jene, Stuttgart i Zurich. Dane o obu tych wstrząsach zamieszczamy wg publikacji E. W. Janczewskiego\*.

W miesiącu czerwcu ogółem zanotowano w Raciborzu 32 wstrząsy sejsmiczne, w większości zarejestrowane mało czytelnie lub jako drobne i zupełnie nieczytelne „ślady“. Dość szczegółowy zapis otrzymany został jedynie z trzęsienia ziemi w rejonie Sinaia w Rumunii w dn. 20 [101]; w zapisie tym na uwagę zasługują wyraźnie zarejestrowane wstępne fazy Pn, P\*, Pg. Ważnym wydarzeniem sejsmicznym miesiąca było trzęsienie ziemi, jakie w dn. 28 nawiedziło południową Francję [110], będąc szeroko odczutym w departamentach nadmorskich: Pyrénées Orientales, Aude i Hérault od Perpignan po ujście Rodanu. W Lagrasse (Aude) natężenie tego trzęsienia ziemi doszło do stopnia VII. BCIS podaje współrzędne

\* E. W. Janczewski, l. c.

epicentrum  $43,1^{\circ}\text{N}$  i  $2,6^{\circ}\text{E}$  oraz szacuje głębokość epicentrum na 20–30 km. Początek zapisu raciborskiego nie jest czytelny; pierwsze dające się odcyfrować impulsy pochodzą prawdopodobnie od fazy S.

Miesiąc lipiec ponownie obfitował w trzęsienia ziemi. Najszczególniej zapisane zostało w Raciborzu bardzo silne trzęsienie ziemi, jakie w dn. 9 o  $04^{\text{h}} 39^{\text{m}} 57^{\text{s}}$  nawiedziło pogranicze brazylijsko-peruwiańskie w rejonie Villa Seabra [127]. Według Pasadeny wielkość tego trzęsienia wynosiła 7, a głębokość ogniska 600 km. JSA szacuje głębokość tego ogniska na 650 km. Zapis raciborski otwierają stosunkowo słabe fazy P, po czym następują wyraźne pP i PP, a wreszcie w niespełna 10 minut licząc od początku zapisu pojawiają się niezwykle wyraziste i efektowne fazy po-przecne SKS i S. W drugiej swej części zapis jest trudny do analizy z powodu nadejścia wstępnych faz drugiego wstrząsu z tegoż ogniska. Dzień 9 był dniem wyjątkowej aktywności sejsmicznej. O  $00^{\text{h}} 36^{\text{m}} 16^{\text{s}}$  nadeszły do Raciborza wstępne fale trzęsienia ziemi, jakie miało miejsce w rejonie pogranicznym pakistańsko-perskim [123]. W kolejnych godzinach zarejestrowane zostały kolejno trzęsienia ziemi z obszaru południowo-wschodniego Pacyfiku [124], z Kolumbii [125] i z rejonu Azorów [126], zaś w godzinach popołudniowych tegoż dnia zarejestrowane zostało silne trzęsienie ziemi na obszarze Pamiru [129]. W drugiej połowie miesiąca liczne trzęsienia podmorskie nawiedziły obszar Pacyfiku; w Raciborzu zostały one zapisane przeważnie mało czytelnie. Ogółem Stacja raciborska zanotowała w lipcu 36 wstrząsów sejsmicznego pochodzenia.

W miesiącu sierpniu Stacja raciborska zanotowała najwyższą w roku liczbę 43 wstrząsów sejsmicznych. Zapis superkatastrofalnego trzęsienia ziemi w Assamie, które zaszło tam w dniu 15 o  $14^{\text{h}} 09^{\text{m}} 30^{\text{s}}$  [163], należy do najokazalszych, jakie kiedykolwiek zarejestrowano na Stacji\*.

\* Z bogatej literatury dotyczącej tego trzęsienia przytaczamy następujące pozycje: Seismological Report on the Assam-Tibet Earthquake on Aug. 15, 1950, Bull. Earthquake Research Inst., v. 29, p. 433, Tokyo 1951; B. L. Gulatee, Geodetic and Geophysical Aspects of the Earthquakes in Assam, Survey of India Techn. Pap., No 5, 1951; F. Kingdon-Ward F., Caught in the Assam-Tibet Earthquake, Nat. Geogr. Mag., v. 101, No 3, p. 402, Washington 1952; F. Kingdon-Ward F., The Assam Earthquake of 1950, Geogr. Journ., v. 119, p. 169; London, 1953; S. L. Malurkar, The great earthquake on Assam border of Aug. 15, 1950, Journ. sci. industr. Res. India, v. 10, No 1, p. 21, 1951; A. Normandin, The Assam Earthquakes in 1950 and their hydrologic effects, Rev. Géogr. Alpine, v. 40, p. 515, 1952; M. B. Ramachandra Rao, Symposium on the Assam Earthquake of Aug. 15, 1950, Ind. Journ. Met. Geophys., v. 3, No 4, p. 258, 1952; V. V. Sohoni, Le grand tremblement de terre de l'Assam, le 15 août 1950, Curr. Sci. Ind., v. 19, No 9, p. 265, 1950; E. Tillotson, The great Assam Earthquake, Nature, v. 167, No 4239, p. 128, 1951; E. Tillotson, The great Sikang-Assam Earthquake of Aug. 15, 1950, Seis-

Wielkość tego trzęsienia oceniła Pasedena na 8,6, zaś Praga nawet na 8,9 i z pewnością od czasów zapoczątkowania automatycznej rejestracji nigdy dotąd nie zanotowano większej energii sejsmicznej wyzwolonej w jednorazowym wstrząsie. Jego bezpośrednie destrukcyjne skutki objęły całą prowincję Assam, gdzie pomimo nader rzadkiego zaludnienia straty materialne i liczba ofiar były bardzo wielkie. W samym dystrykcie Abor Hills ponad 70 wiosek i osiedli przy głównym wstrząsie zostało startych z powierzchni ziemi. Ocaleli w rejonie epicentralnym świadkowie relacjonują przebieg zjawiska jako nagłe potężne zachwianie się całego obszaru w zasięgu widoczności łącznie z linią horyzontu, połączone z równie nagle otwarciem się rozległych szczelin oraz powstaniem ogromnych uskoków i zsuwów. W skutku tych procesów na licznych w tej okolicy górskich dopływach Bramaputry potworzyły się zapory z materiału skalnego i zwalonej drzew. Powstałe w ten sposób spiętrzenia wód rozładowywały się w mniej lub więcej nagły sposób w ciągu szeregu dni po głównym wstrząsie, sprawiając dodatkowe spustoszenia. Tak np. w 8 dni po wstrząsie powstała w dolinie Suban-siri 7-metrowej wysokości fala, która zniszczyła setki wsi, powodując śmierć 532 ich mieszkańców. Wstrząs odczuły został wzdłuż podnóża Himalajów i w Indiach po Allahabad i Kalkuttę, w całym Tybecie, w południowo-zachodnich Chinach i w Burmie aż po Rangun. W  $01^{\text{h}} 17^{\text{m}}$  po wstrząsie głównym nastąpił silny wstrząs następczy, a za nim w interwałach od kilkunastu minut do kilku godzin dłużna seria dalszych wstrząsów następnych. Ich liczba wyniosła kilkanaście do końca doby i kilkadziesiąt do końca miesiąca sierpnia. Stacja raciborska zanotowała ich 15 w sierpniu. Nieco więcej niż pół doby przed opisanym trzęsieniem ziemi w Assamie miało miejsce potężne trzęsienie ziemi w rejonie antycentrum, a mianowicie w dn. 14 o  $22^{\text{h}} 51^{\text{m}} 28^{\text{s}}$  w północnej Argentynie, na E od Santiago del Estero [162]. Wielkość tego trzęsienia była 7,25–7,50, a głębokość ogniska 650–700 km. Z innych ważniejszych trzęsień ziemi w miesiącu sierpnia wymienić należy trzęsienie ziemi dn. 2 w Erytrei [148] oraz dn. 31 w Jugosławii [190].

Z 30 wstrząsów sejsmicznych zanotowanych w Raciborzu w miesiącu września najczytelniejszego zapisu dostarczyło trzęsienie ziemi, jakie w dn. 22 miało miejsce w rejonie Wysp Kurylskich [211] z epicentrum o współrzędnych  $47,5^{\circ}\text{N}$ ,  $153^{\circ}\text{E}$  i o głębokości ogniska  $h = 150$  km. Z ważniejszych trzęsień ziemi miesiąca wymienić trzeba ponadto kilka euro-

mological Investigations, London, Aug. 31, 1951; D. N. Wadia, North-east Assam Earthquake of 15th Aug. 1950, Journ. sci. industr. Res. India, v. 9, No 10, p. 351, 1950. W literaturze polskiej szereg szczegółów o tym trzęsieniu podaje I. Bóbr-Mordakowa, Silne trzęsienie Ziemi w Assamie, Przegl. Geol., No 2, str. 32, Warszawa 1953.

pejskich: w rejonie Krety [214] w dn. 23 oraz włoskie trzęsienie ziemi w rejonie Gran Sasso [196], które w dn. 5 spowodowało tam poważne szkody materialne\*. Po wstrząsie głównym stacje sejsmologiczne włoskie zanotowały z tegoż ogniska liczną serię wstrząsów następczych.

W październiku Stacja w Raciborzu zanotowała 19 wstrząsów sejsmicznych. Wśród nich jednym z najintensywniejszych było trzęsienie ziemi, które w dn. 5 miało miejsce w północno-zachodniej części Costa Rica [221], powodując zniszczenia w Punta Arenas. Trzęsienie ziemi w dn. 8 w rejonie Cieśniny Moluckiej [222] posiadało również podobną wielkość (ok. 7,5), zapisane jednak zostało mało czytelnie. Wśród trzęsień europejskich wymienić należy dwa trzęsienia alpejskie z dn. 18 [229] i z dn. 24 [235], oba zapisane słabo i niewyraźnie.

Większość wstrząsów sejsmicznych zanotowanych w Raciborzu w miesiącu listopadzie zapisaną została w formie mało czytelnej. Wyjątek stanowi zapis silnego trzęsienia ziemi w dn. 8 w rejonie Wysp Salomona [244] z epicentrum o współrzędnych  $9,5^{\circ}\text{S}$ ,  $159,5^{\circ}\text{E}$ ,  $H = 02^{\text{h}} 18^{\text{m}} 09^{\text{s}}$ . Na zapisie tym dają się odczytać zarówno fazy jądrowe PKP i PKS, jak i faza PP. Ogółem Stacja raciborska zapisała w listopadzie 17 wstrząsów.

Zapisy sejsmiczne uzyskane w Raciborzu w miesiącu grudniu odznaczały się stosunkowo dobrą czytelnością. Silne trzęsienie ziemi w rejonie Nowych Hebrydów [259] w dn. 2 dostarczyło sejsmogramu z wyraźnie czytelnymi fazami PKP, PKS, SKS, a nawet PKKP i SKKS. Równie czytelnie wypadły sejsmogramy silnego trzęsienia ziemi w dn. 14 z rejonu archipelagu Tonga [268]. Bardzo silne trzęsienie ziemi o wielkości 7,75–8,0, które nawiedziło w dn. 9 pogranicze Argentyny i Chile [265] dostarczyło zapisu rzadko w Raciborzu widocznych bliskich odbić pP i sP. Z innych uzyskanych zapisów wymienić trzeba sejsmogramy zawierające wstępne fazy podłużne i poprzeczne silnego atlantyckiego trzęsienia ziemi z dn. 1 [257]. Ogółem zanotowano w grudniu 17 wstrząsów sejsmicznych.

\* D. Di Filippo, L. Marcelli, Uno studio sul terremoto del Gran Sasso d'Italia del 5 settembre 1950, Ann. di Geofis., v. IV, p. 213, 1951.

